

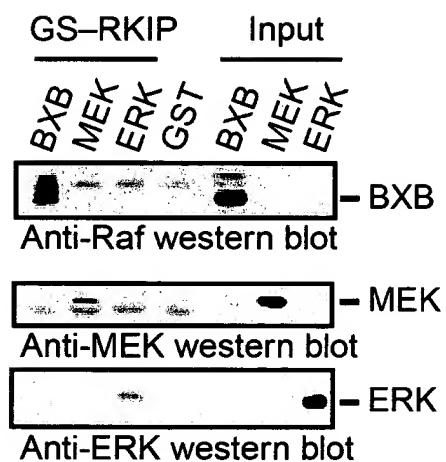


Human PEBP	MPVDSLKWSGPLSL	QEVDP-EQPQHPLVYTYAGA-AVDELGVVETOVNRP	SISWGG-LDSG
Murine PEBP	MAADISQWAGPLCL	QEVDP-EPPQHARVDYAGV-TVDELGVVETOVNRP	SISWGG-LDPG
Drosophila	MSDSTVCPSKKIV	PDILKTCPATLLTVYGGQVVDVGG-ETSPQVCSQF	-VRVDA--DPN
C.Elegans	MVVLVTRSLPALPFAARPAATTSARFQGLATMAAFAFTHRVIPD	VLAS-NPPSKVSVFNSG-VEANLGVVETOVNRP	ETP-EVKWDAEPG-
Antirrhinum-CEN	MAAKVSSDPLVIGSVIGDV	VDHFTSTVKSVTYNSNNSIKHYNGHE-ETSAVTST	EVEVEGGDMR-
Aradopsis-TFL1	MENGTRETVIEPLINGRVGDV	LDFFPTTKQNVSYNKK-----QVNGHEET	SVSSKT-EVZIHGGDLR-
Yeast	MNQALDPAQASIDSXKKGILEDVH	DTSPQPSGILAVTYSSS	APVAMGTTT-THKARSKT-QPQ777NKKQ-
Human PEBP	KLTVLTVDDAPSDPDPK	KLTVLTVDDAPSDPDPK	KLTVLTVDDAPSDPDPK
Murine PEBP	KLTVLTVDDAPSDPDPK	KLTVLTVDDAPSDPDPK	KLTVLTVDDAPSDPDPK
Drosophila	AFVLLTVDDAPSDPDPK	AFVLLTVDDAPSDPDPK	AFVLLTVDDAPSDPDPK
C.Elegans	ALTVLTVDDAPSDPDPK	ALTVLTVDDAPSDPDPK	ALTVLTVDDAPSDPDPK
Antirrhinum-CEN	SFTVLLTVDDAPSDPDPK	SFTVLLTVDDAPSDPDPK	SFTVLLTVDDAPSDPDPK
Aradopsis-TFL1	SFTVLLTVDDAPSDPDPK	SFTVLLTVDDAPSDPDPK	SFTVLLTVDDAPSDPDPK
Yeast	QKSVTQANAVTQDDDLT	QKSVTQANAVTQDDDLT	QKSVTQANAVTQDDDLT
Human PEBP	PLKCDP-IISNRSGDGRGKFAVASFKKTELAPVAGT	PLKCDP-IISNRSGDGRGKFAVASFKKTELAPVAGT	PLKCDP-IISNRSGDGRGKFAVASFKKTELAPVAGT
Murine PEBP	PLKCDP-IISNRSGDGRGKFAVASFKKTELAPVAGT	PLKCDP-IISNRSGDGRGKFAVASFKKTELAPVAGT	PLKCDP-IISNRSGDGRGKFAVASFKKTELAPVAGT
Drosophila	KLTCNEP-KIKKTSQDGRGKFAVASFKKTELAPVAGT	KLTCNEP-KIKKTSQDGRGKFAVASFKKTELAPVAGT	KLTCNEP-KIKKTSQDGRGKFAVASFKKTELAPVAGT
C.Elegans	RIEDAGRENTSODRGKFAVASFKKTELAPVAGT	RIEDAGRENTSODRGKFAVASFKKTELAPVAGT	RIEDAGRENTSODRGKFAVASFKKTELAPVAGT
Antirrhinum-CEN	GOALSPD-----VVCDDGPTTRKFOENELGIPVAV	GOALSPD-----VVCDDGPTTRKFOENELGIPVAV	GOALSPD-----VVCDDGPTTRKFOENELGIPVAV
Aradopsis-TFL1	RVIFPN-----IPSDHETREKAVEYDGLAVTF	RVIFPN-----IPSDHETREKAVEYDGLAVTF	RVIFPN-----IPSDHETREKAVEYDGLAVTF
Yeast	-----GVDSBKFKIKDRPNWGYGDP	-----GVDSBKFKIKDRPNWGYGDP	-----GVDSBKFKIKDRPNWGYGDP

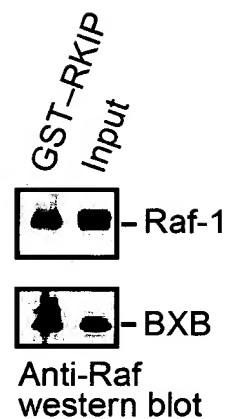
Fig. 1

Bait \ Prey	RKIP (His-prototrophy)	RKIP ( $\beta$ -gal activity)
BXB	yes	yes
Kinase-dead BXB	yes	yes
cdk2 kinase	no	no
p53	no	no
Lamin	no	no

**Fig. 2a**

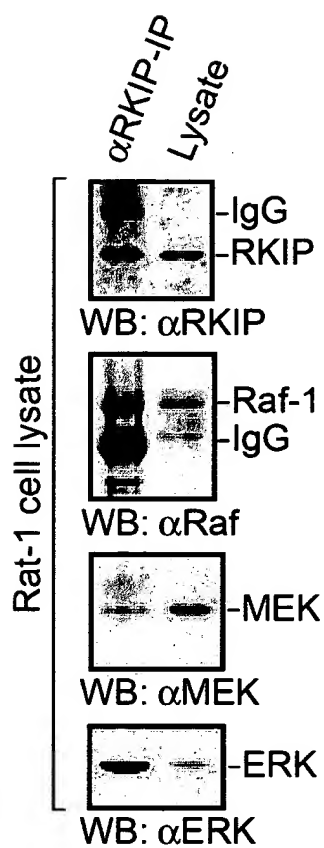


**Fig. 2b**

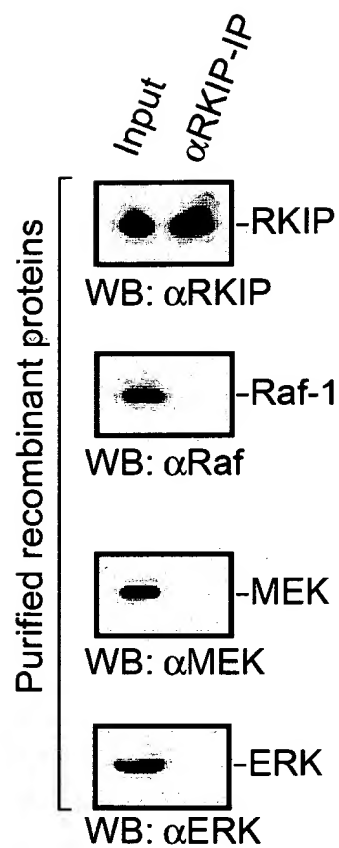


**Fig. 2c**

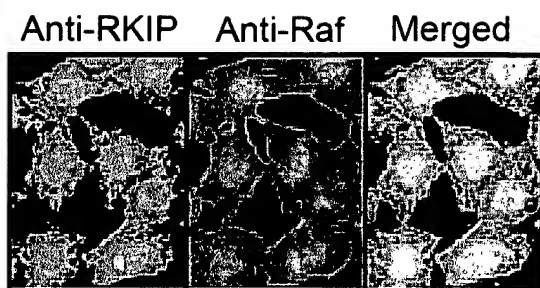
NOT AVAILABLE COPY



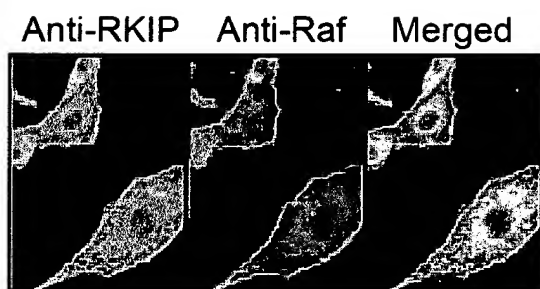
**Fig. 2d**



**Fig. 2e**



Quiescent



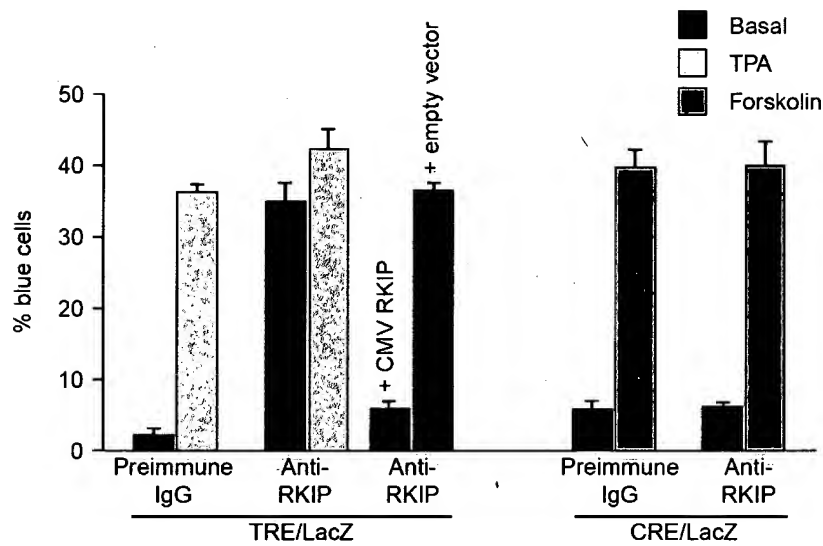
+ v-Ras



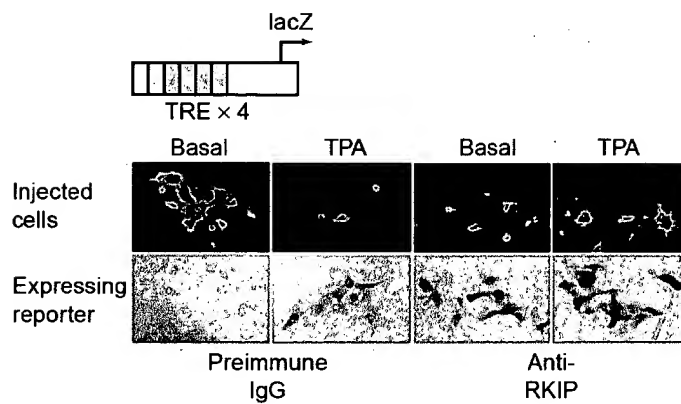
+ antigen competition

**Fig. 2f**

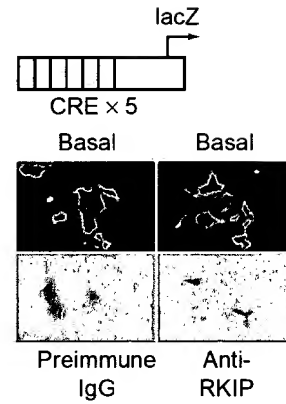
BEST AVAILABLE COPY



**Fig. 3a**

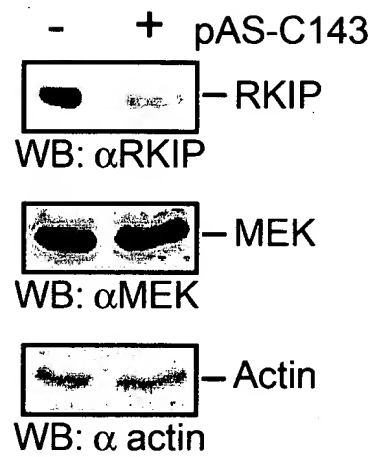


**Fig. 3b**

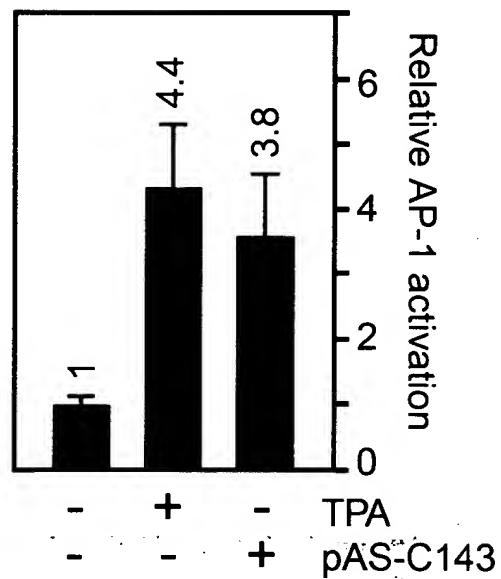


**Fig. 3c**

BEST AVAILABLE COPY

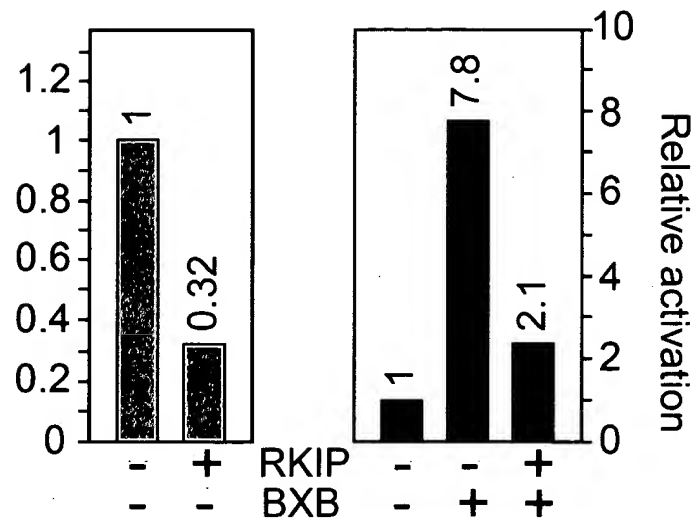


**Fig. 3d**

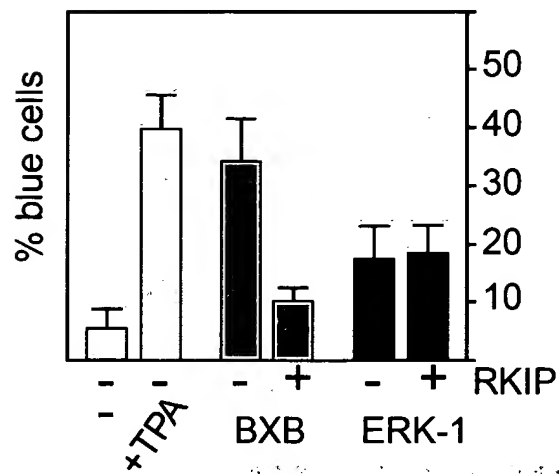


**Fig. 3e**

BEST AVAILABLE COPY



**Fig. 4a**



**Fig. 4b**

**BEST AVAILABLE COPY**

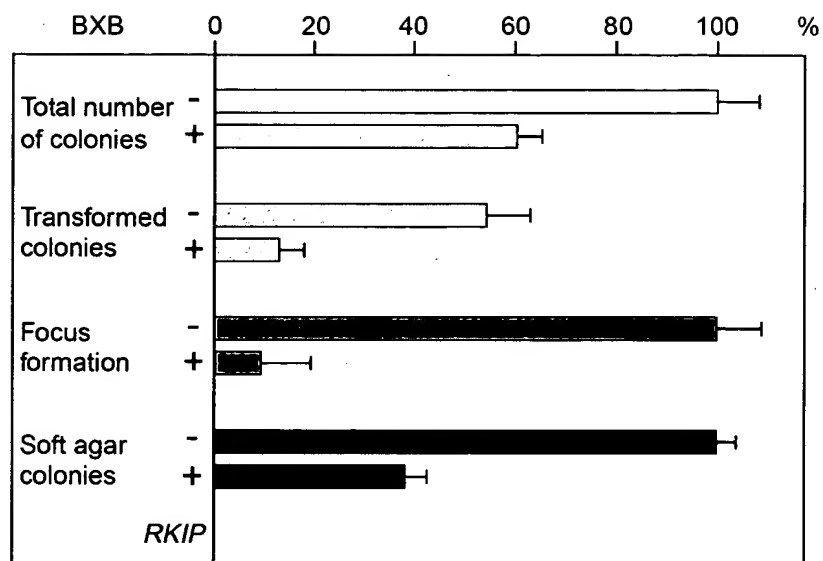


Fig. 4c

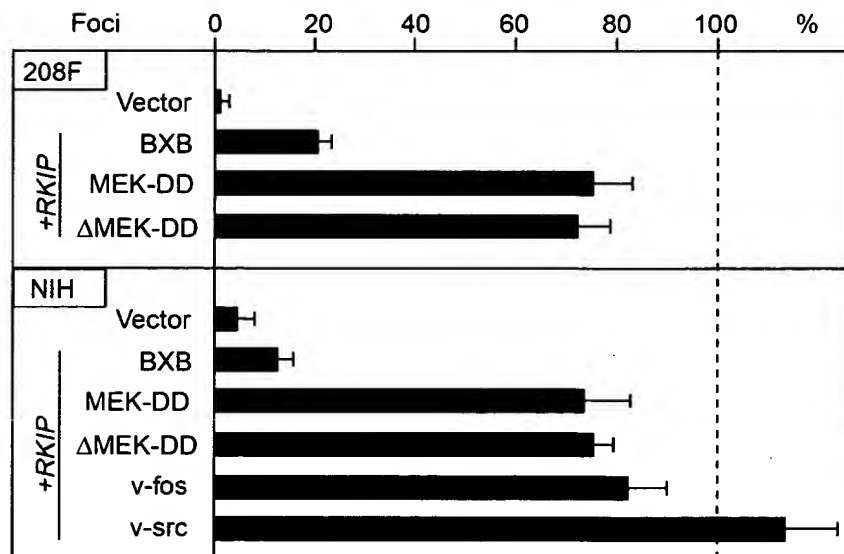


Fig. 4d

BEST AVAILABLE COPY



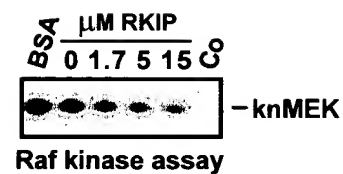


Fig. 5a

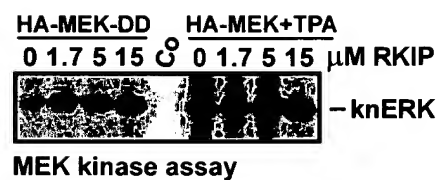


Fig. 5b



Fig. 5c

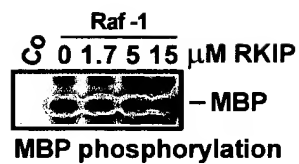


Fig. 5d

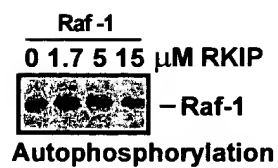
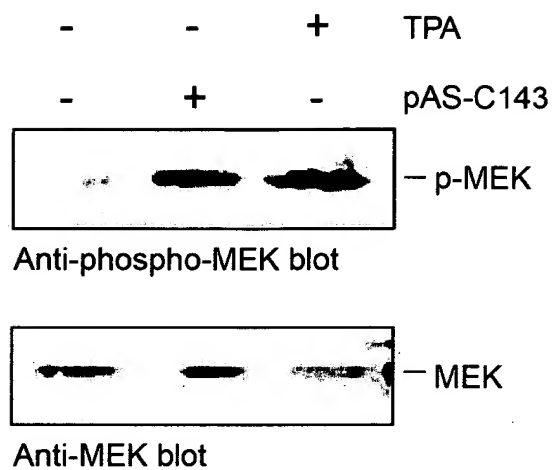
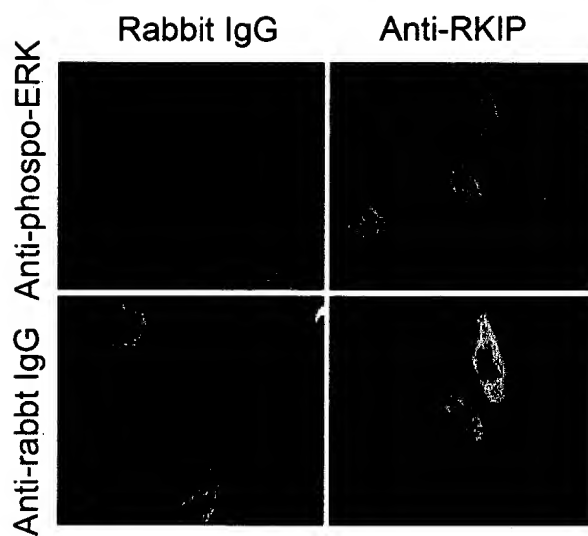


Fig. 5e

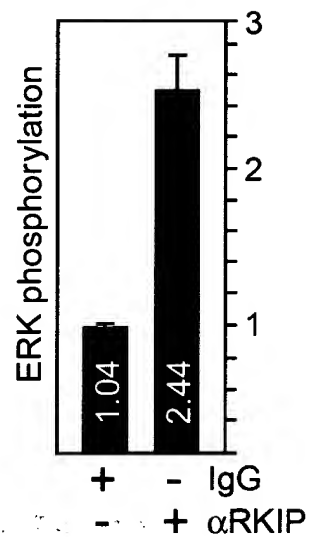
BEST AVAILABLE COPY



**Fig. 6a**

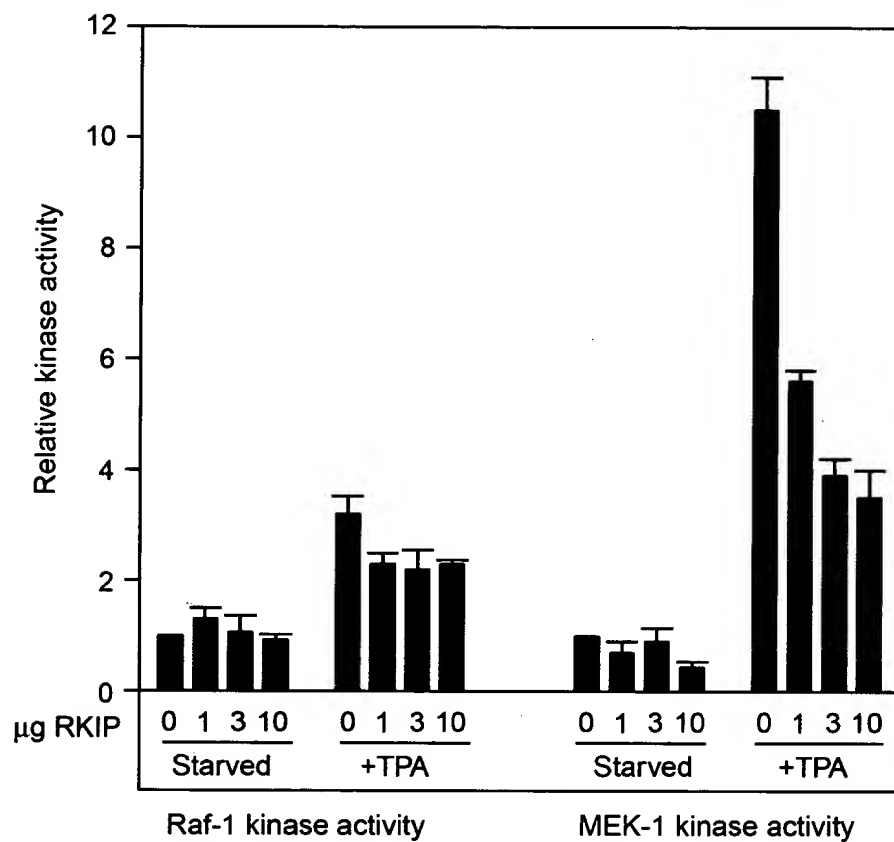


**Fig. 6b**

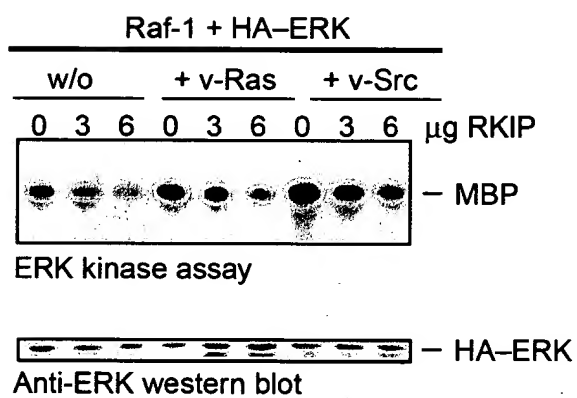


**Fig. 6c**

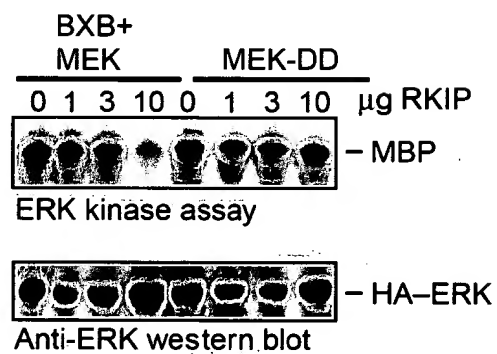
**BEST AVAILABLE COPY**



**Fig. 6d**



**Fig. 6e**



**Fig. 6f**

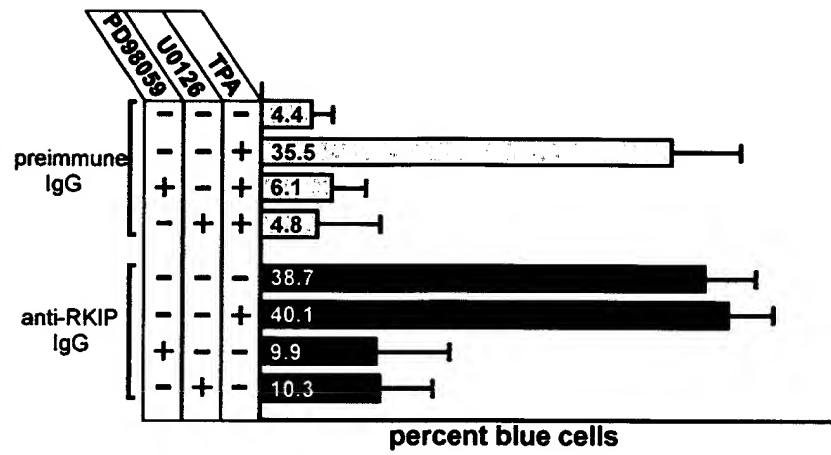


Fig. 7a

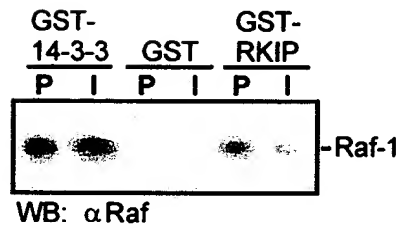


Fig. 7b

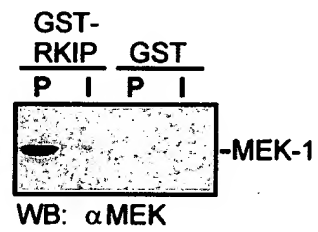


Fig. 7c

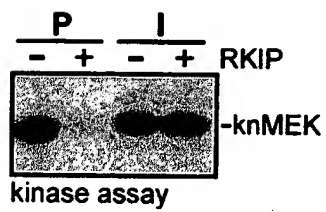
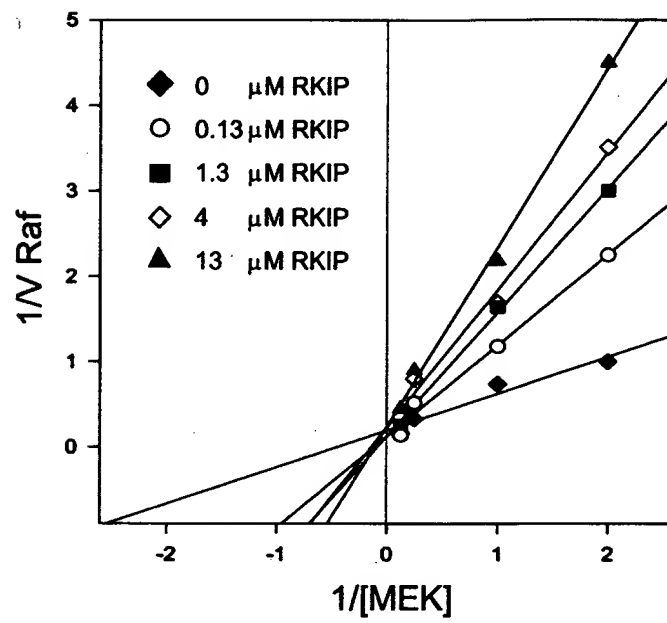
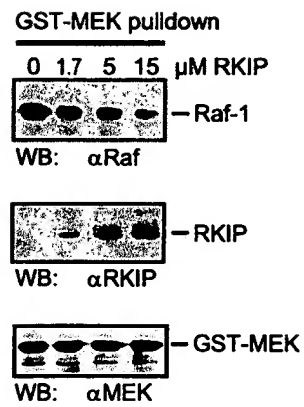


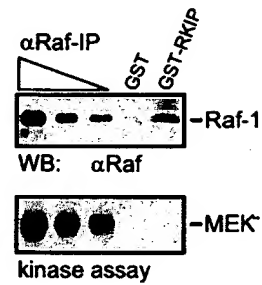
Fig. 7d



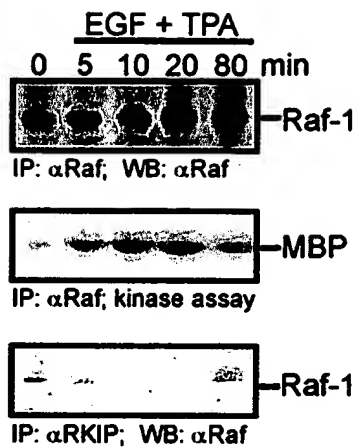
**Fig. 8a**



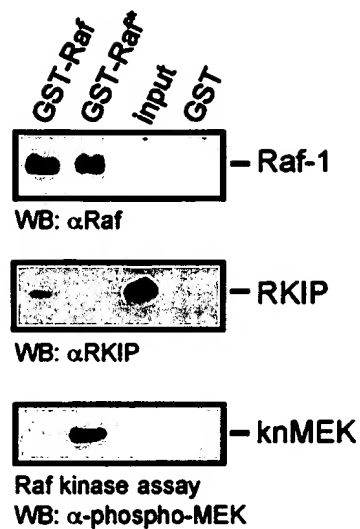
**Fig. 8b**



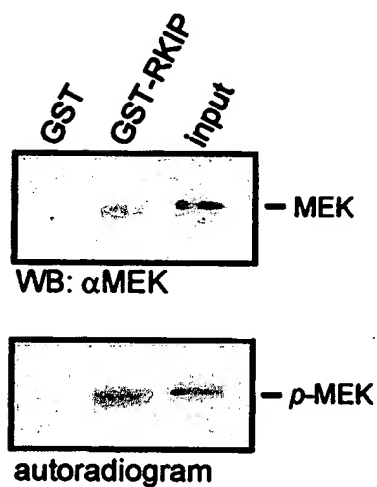
**Fig. 8c**



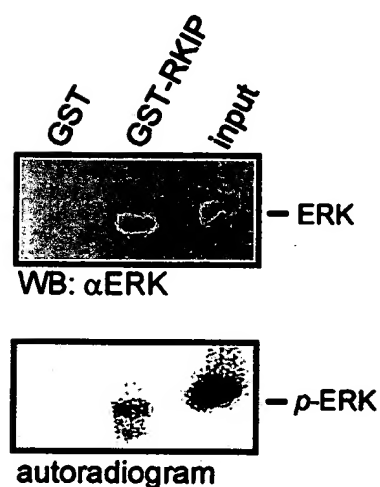
**Fig. 9a**



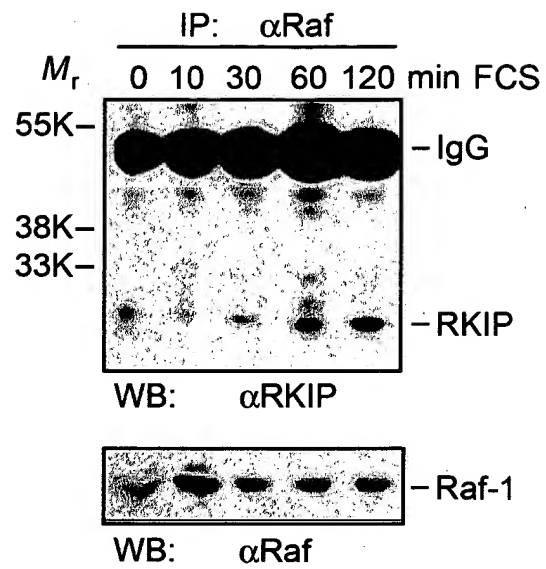
**Fig. 9b**



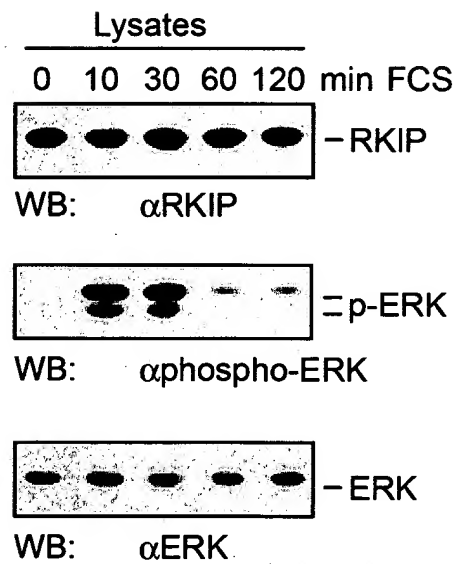
**Fig. 9c**



**Fig. 9d**



**Fig. 10a**



**Fig. 10b**

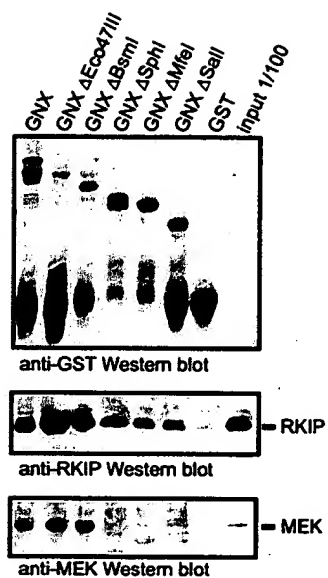


Fig. 11a

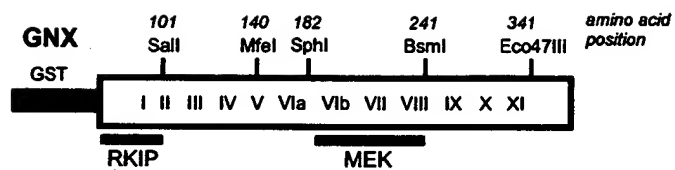


Fig. 11b

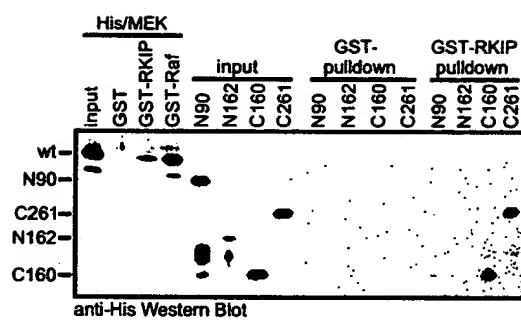


Fig. 11c

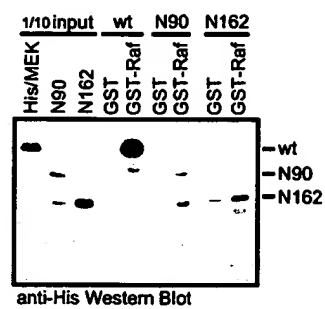
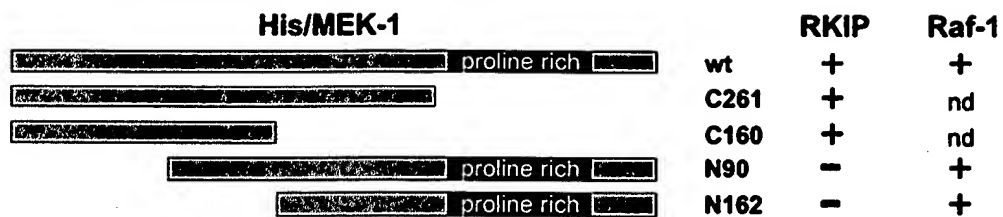
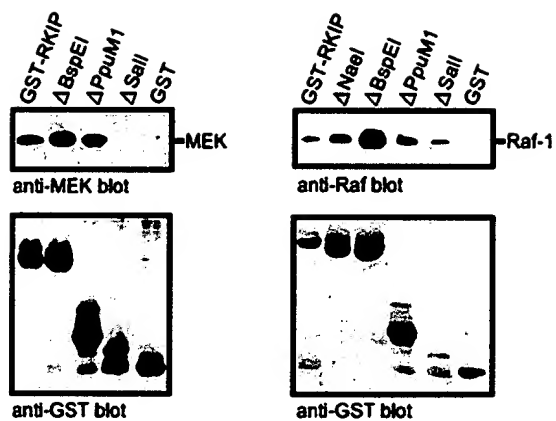


Fig. 11d

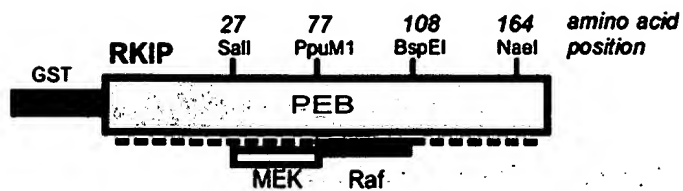




**Fig. 11e**



**Fig. 11f**



**Fig. 11g**

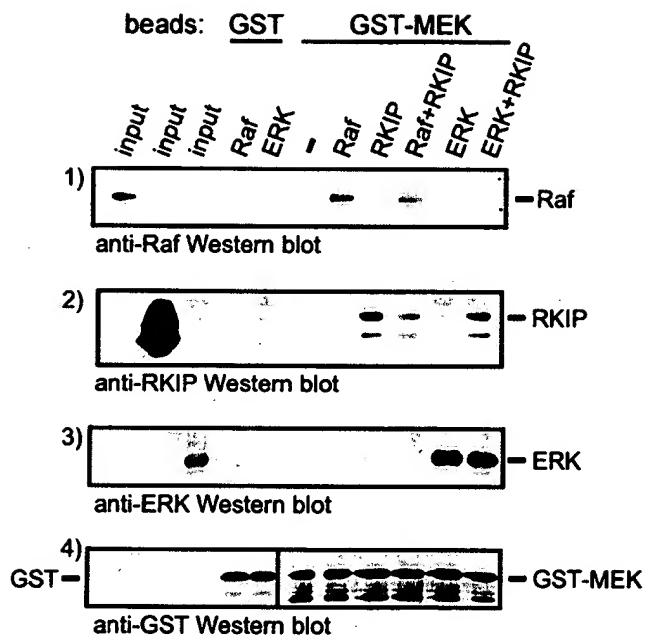


Fig. 12a

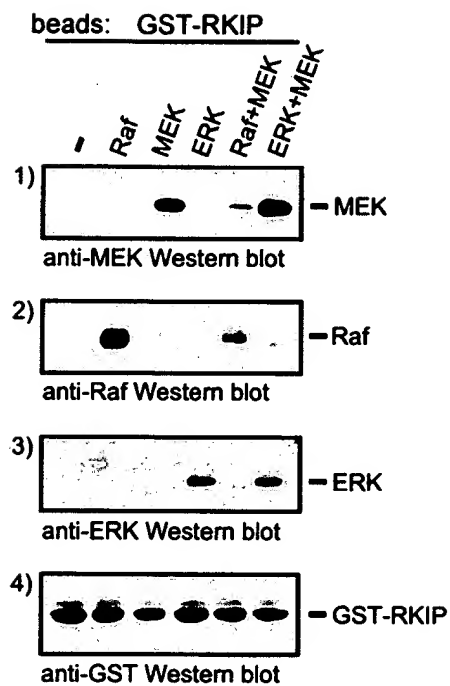


Fig. 12b

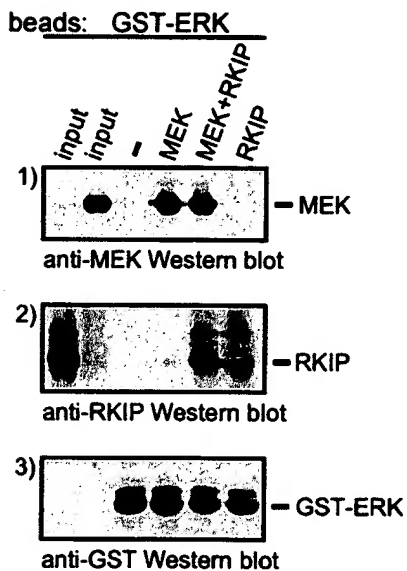


Fig. 12c

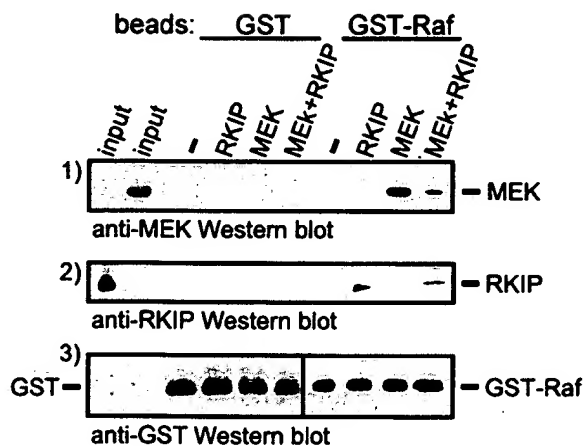


Fig. 12d

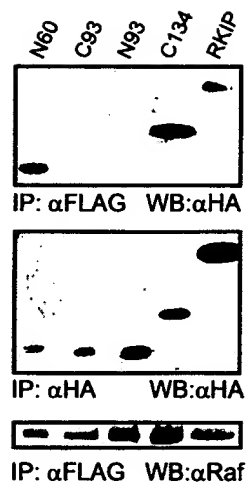


Fig. 13a

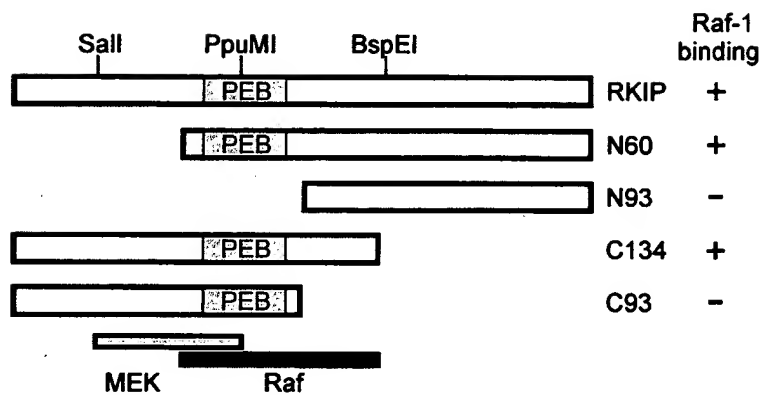


Fig. 13b

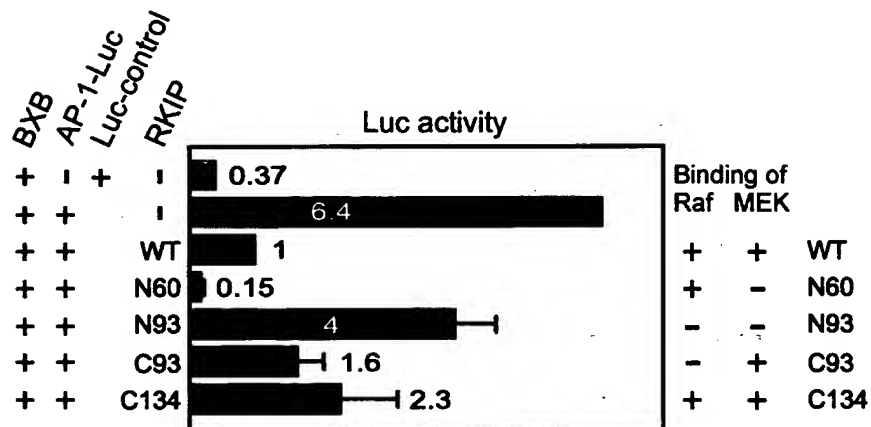


Fig. 13c